

УДК 553.81 (574.2)

© Л.И.Третьякова, А.М.Люхин, 2016

## Импактно-космогенно-метасоматическое происхождение микроалмазов месторождения Кумды-Коль, Северный Казахстан

Л.И.ТРЕТЬЯКОВА, А.М.ЛЮХИН

На основе анализа геологических, петрографических, минералогических, кристаллографических, геохимических данных по алмазам и алмазоносным породам месторождения Кумды-Коль в Северном Казахстане показано импактно-космогенно-метасоматическое происхождение алмазов этого месторождения.

**Ключевые слова:** микроалмазы, месторождение Кумды-Коль, генезис алмазов, импакт, метаморфизм сверхвысокого давления, прогрессивный и регрессивный метаморфизм, метасоматоз.

Третьякова Людмила Иосифовна  
Люхин Алексей Михайлович



ltretia@gmail.com  
Lyuhin@yandex.ru

## Impact-cosmic-metasomatic origin of microdiamonds from Kumdy-Kol deposit, North Kazakhstan

L.I.TRETIKOVA, A.M.LYUKHIN

On the basis of comprehensive analyses geological, petrological, mineralogical, crystallographic, geochemical data of microdiamonds and diamond-bearing rocks from Kumdy-Kol deposit have been proved impact-cosmic-metasomatic origin of diamonds from this deposit.

**Key words:** microdiamonds, Kumdy-Kol deposit, diamond genesis, impact, UHP metamorphism, prograde and regressive metamorphism, metasomatism.

В истории Солнечной Системы импактные процессы играют важную роль. Бомбардировки планет Солнечной Системы, включая Землю, метеороидами и кометами продолжаются в течение всей ее геологической истории и носят пульсационно-прерывистый характер. Первые надежные свидетельства крупномасштабных импактных событий в форме различных слоев сферул найдены в Южной Африке и Австралии, их возраст ~3,4 и ~2,5 млрд. лет соответственно (C.Koeberl, 2006). Известно несколько больших импактных структур, образовавшихся 2100–700 млн. лет назад (Jordan, 2012), остальные – около 188 известных в настоящее время подобных структур моложе 700 млн. лет, из них основная часть имеет кайнозойский возраст. Поскольку на Земле в отличие от других планет Солнечной Системы большую роль играют эрозионные процессы, которые за многие миллионы лет могли уничтожить следы древних импактов, в действительности ударных кратеров значительно больше, они пока не все идентифицированы.

Любое столкновение космического тела с Землей оставляет следы на её поверхности. Важно находить и определять признаки внеземного вещества в земных породах и отличать их от следов древних геологических

процессов с помощью тщательных структурных дистанционных, петрографических, минералогических, геохимических исследований.

Известно отрицательное влияние импактов на биологическую эволюцию нашей планеты, один из примеров – удар метеороида в конце мелового периода, который уничтожил многие виды фауны, в том числе и динозавров. Влияние импактов на геологическую эволюцию Земли скорее положительное, благодаря им на Земле появились многие полезные ископаемые: алмазы, U, РЗЭ, руды Pt, Au, Fe, Ni, Cu, нефть, газ и др. Документированными земными импактами являются Cu-Ni месторождение Садбери (возраст  $1850 \pm 3$ ) (D.E.Ames et al., 2008), Au-U месторождение Витватерсrand, возникшее в результате импактного события Vredefort  $2023 \pm 4$  млрд. лет назад (С.А.Вишневский, 2007).

Авторы считают, что и алмазы, найденные на Земле, доставлены на её поверхность космогенными источниками (астEROиды, кометы) и (или) кристаллизовались *in situ* на затравках вещества, принесенного ими в условиях среды и за счет энергии, созданной импактным событием. В большинстве случаев имели место обе причины. В частности, месторождение Кумды-Коль и

территориально близкие и геологически подобные ему проявления алмазов Барчи-Коль, Сулу-Тюбе, Солдат-Коль и Кюлеть, расположенные в Северном Казахстане, образовались в результате наклонного столкновения с Землей фрагментов кометы, распавшейся на части в земной атмосфере. Месторождение Кумды-Коль с запасами микроалмазов многие сотни миллионов карат – одно из наиболее изученных проявлений «метаморфических» алмазов на Земле. Рассмотрение геологических, петрографических, минералогических, геохимических признаков минералов и пород позволило авторам сделать вывод об импактно-космогенно-метасоматическом происхождении микроалмазов этого месторождения.

В настоящий момент существует пять гипотез генезиса микроалмазов месторождения Кумды-Коль. Их описание дано в работах [1, 2, 7] и др. и здесь не рассматривается.

*Геологическое строение месторождения микроалмазов Кумды-Коль* приводится по данным источников [1, 2, 7]. Месторождение располагается в пределах Северо-Казахстанской рудной провинции и приурочено к Кокчетавскому массиву.

Докембрийский фундамент (вмещающие породы месторождения) сложен гранат-биотитовыми и двуслюдянymi протерозойскими гнейсами (~1900–2600 млн. лет). Возраст метаморфического события сверхвысокого давления, явившегося причиной изменения вмещающих алмазы пород и алмазообразования – кембрийский (~517–527 Ma), а возраст линз лейкократовых гранитов – поздний кембрий–ордовик [2, 16].

Породы рудной зоны – алмазоносные метасоматически измененные метаморфизованные гранат-биотитовые и биотитовые гнейсы (с графитом, сульфидами, водой, оксидами железа, РЗЭ), с линзами кварцевых, карбонатных, гранат-пироксеновых пород, измененных эклогитов обогащены Au, U, Ti. Алмазоносные породы переслаиваются с безрудными, безграфитовыми регионально метаморфизованными гранат-биотитовыми гнейсами или линзами инъекционных гранитов. Это означает, что гнейсы образовались в результате регионального метаморфизма на ~2 млрд. лет раньше, а граниты на несколько миллионов лет позже формирования рудной зоны месторождения.

Алмазоносная зона имеет сложное линзовидно-блоковое строение. На фоне ее линзовидно-полосчатого строения выделяются блоки пород различного состава. Рудная зона представлена моноклинально залегающим, кругопадающим (угол падения 60–80°), пластообразным телом северо-восточного простириания с незакономерно чередующимися рудными (с разным содержанием алмазов) и безрудными участками. На юго-западном фланге месторождения оно протягивается

на дневной поверхности в виде полосы на расстояние ~1300 м при ширине ~40 м и до ~250 м – на северо-восточном (то есть расширяется по направлению к оз. Кумды-Коль). Выклинивается на глубине ~300 м. Рудная зона ограничена разломами северо-восточного, север–северо-восточного и широтного простирианий, образующими единую тектоническую зону дробления и трещиноватости. Вмещающие породы брекчированы, имеют бластомилонитовую и бластокатализитовую структуры и сцеплены тонкозернистым массой [2], (Л.Д.Лаврова и др., 1997).

Распределение алмазов (размер 10–60 мкм) в породах рудной зоны не имеет четких литологических и пространственных границ. Критерием алмазоносности пород является их интенсивный метасоматоз, алмазы встречаются во всех типах метасоматитов в виде вкрапленников во все минералы и межзерновое пространство. Алмазы всегда приурочены к трещинам в породах и минералах, они не замещают ранее существовавший минерал, но заполняют пустоты в микротрещинах порообразующих минералов, включая их эпигенетические (более поздние) разновидности. Содержание алмазов возрастает в северо-восточном направлении к центру кольцевой структуры. По данным работ [2 и др.] высокоалмазоносные породы отмечены в ксенолите гранат-пироксеновой породы, находящемся в теле лейкократовых гранитов, расположенных к северу от рудной зоны месторождения. Порода

представляет собой крупнозернистый агрегат граната (пироп-гроссуляр-альмандин) 30%, пироксена (диопсид-салит) 60% и кварца+полевого шпата ~10%. В небольших количествах присутствуют амфибол и акцессорные минералы – рутил, сфера, циркон. Кроме того, алмазы обнаружены в глыбе на берегу оз. Кумды-Коль, состоящей из пироксен-флогопит-карбонатной породы, а также в линзах и маломощных пластах аналогичного состава среди гнейсов рудной зоны, имеющих бластомилонитовую структуру и состоящих из клинопироксена (диопсид) 20–40%, флогопита 10–20% и карбонатов (кальцит и доломит). К высоко алмазоносным породам относятся также гранат-биотитовые измененные гнейсы, слагающие основную часть (80%) рудной зоны [2], (Л.Д.Лаврова и др., 1997).

К алмазоносным породам также относят: а) гранат-биотит-амфиболовые породы, обычно наблюдающиеся на контактах гранат-биотитовых гнейсов с эклогитами или гранат-пироксеновыми метасоматитами. Эти породы с массивной текстурой состоят (в %): из граната (пироп-гроссуляр-альмандин) 20, биотита 15, зеленой роговой обманки 25, сфена 5, кварц-полевошпатового агрегата; б) алмазоносные ортоклаз-пироксеновые, пироксеновые, гранат-пироксеновые и пироксен-карбо-

## 66 Расположение месторождения в пределах кольцевой структуре

натные породы, образующие маломощные линзы и изометрические тела в рудной зоне. Породы имеют такситовую текстуру (по-видимому, имело место плавление исходных пород) и содержат (в %): пироксен (диопсид-салит) 60, сфен 5, ортоклаз 35.

*Сценарий и признаки импактного события.* Космическое изображение территории (рис. 1) показывает, что месторождение Кумды-Коль расположено в пределах кольцевой структуры диаметром ~4,0 км, по форме и размерам сопоставимой с небольшим ударным кратером [4], (A.M.Luykhin, 2012). Авторы предполагают, что рудная зона месторождения начала формироваться на пике метаморфизма сверхвысокого давления, условия которого были спровоцированы ударом кометы, летевшей по направлению с северо-востока на юго-запад и столкнувшейся с Землей под косым углом [4], (A.M.Luykhin, 2012, H.J.Melosh, 1989). Доказательством служат образовавшаяся в результате удара четко выраженная кольцевая структура и сопутствующая ей зона дробления и трещиноватости, сформированная породами, образованными при механическом дроблении и разрушении со структурами автокластических пород, расширяющаяся по направлению к оз. Кумды-Коль и выклинивающаяся на глубине ~300 м. Подчеркнем, что содержание алмазов в рудной зоне возрастает в северо-восточном направлении к центру кольцевой структуры.

Вещество ядра кометы, подобное углистому хондриту, включающему в себя частицы звездной пыли,

presolar зерна (зерна, имеющие аномальный изотопный состав по сравнению со средним составом материала Солнечной системы, которые не могли образоваться в результате ядерных процессов – радиоактивного распада, расщепления, вызванного космическими лучами, идентифицируются как Presolar, T.L.Dalton et al., 1996). К ним относятся зерна алмазов, SiC, графита,  $\text{Si}_3\text{N}_4$ ,  $\text{Al}_2\text{O}_3$ ,  $\text{MgAl}_2\text{O}_4$ ,  $\text{CaAl}_{12}\text{O}_{19}$ ,  $\text{TiO}_2$ ,  $\text{Mg}(\text{Cr},\text{Al})_2\text{O}_4$ , силикатов, TiC, Fe-Ni, замороженные газы – C-H-O-N [19], (D.D.Clayton, L.R.Nittler, 2004, T.L.Daulton et al., 1996, R.M.Hough et al., 1995, U.Ott, 1993), наноалмазы с аномальным содержанием благородных газов – He, Ne, Ar, Xe [19, 14, 9], (C.Koeberl, 1998) и рассеянные элементы (K, Na, S, P, Pb, Cl, Zn, Ni, Zr, Ti, Th). Под огромным давлением вещество ядра кометы было впрыснуто в породы мишени, став импактно-космогенным источником зародышей алмазов и (или) самих алмазов [4], (A.M.Luykhin, 2012).

Рост алмазов происходил в условиях регressiveного метаморфизма в течение короткого времени сразу после импакта за счет сверхнасыщенного углеводородами флюид-расплава, когда давление резко упало, а температура медленно понижалась. Флюид-расплав был сформирован в процессе столкновения из водно-парового хвоста кометы (состав которого C, CH, CH<sub>3</sub>, CN, HCN, N, NH<sub>3</sub>, H<sub>2</sub>O) [10] и смеси тонкодисперсного вещества ядра кометы с парами расплавленных пород мишени.

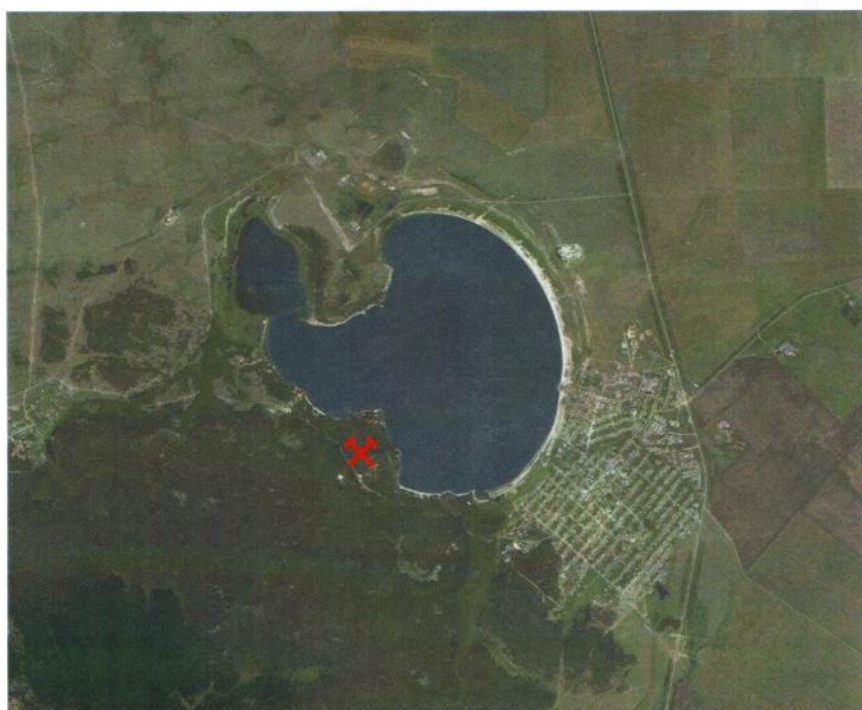


Рис. 1. Космическое изображение района месторождения Кумды-Коль, Северный Казахстан [26]

Рассмотрим особенности строения и состава алмазов и сопутствующих им минералов, подтверждающих космогенную природу месторождения Кумды-Коль.

*Автографы ударного давления и прогрессивного метаморфизма пород мишиени* характеризуются включениями минералов сверхвысокого давления – алмаза, лонсдейлита, коэсита, омфацита в породы мишиени, наличием принесенных кометой муассанита ( $\text{SiC}$ ) и сферул графита [17], закаленных металлических частиц – магнетита, гематита, вюстита, троиллита,  $\alpha\text{-Fe}$ ,  $\text{Ni}\text{-Fe}$  в алмазоносных породах. Указанные условия подтверждаются также существованием катионных обменов в ударно-активированных фазах при замещении:  $2\text{Al}^{3+} \rightarrow [\text{(Mg}, \text{Fe})^{2+}\text{+Ti}]$  или  $(\text{Ca+Al}) \rightarrow (\text{Na+Ti})$  в гранатах, наличием избытка  $\text{Si}$  в клинопироксенах при замещении  $1,5 \text{ Si}^{4+} \rightarrow (\text{Mg}^{2+}\text{+Na+Al}^{3+})$  [25], о чем свидетельствуют высокие содержания  $\text{Na}$  и  $\text{Ti}$  в гранатах,  $\text{K}$  и  $\text{Na}$  в клинопироксенах [16],  $\text{Al}$  и  $\text{Si}$  в сфенах,  $\text{Al}$  в фенгитах [25], (R.Y.Zwang and G.J.Liou, 2001). Разделение  $\text{Fe-Mg}$  между клинопироксеном и гранатом дает пик температур  $\sim 985\text{--}1045^\circ\text{C}$  для ядро-ядро и  $\sim 800\text{--}1000^\circ\text{C}$  оболочка-оболочка пар при  $P > 40$  кбар для алмазодержащих пород [25]. Амфибол со значительным компонентом К-рихтерита [25] и минеральная ассоциация доломит+диопсид+гранат (+арагонит)±алмаз в доломитовых мраморах [22] согласуются с происхождением при высоком давлении. Все это указывает на воздействие на эти породы ударной волны с пиковым давлением  $\geq 40\text{--}50$  кбар.

*Условия регрессивного метаморфизма* возникли при резком уменьшении давления и медленном понижении температуры пород после импакта. Образовавшийся флюид-расплав способствовал метасоматическому изменению пород мишиени. Это прослеживается по образованию оболочек графита на алмазах [17], псевдоморфоз шестоватого кварца по коэситу (C.D.Parkinson, 2000), реакционных каемок (симплектитовых срастаний) клинопироксена и шпинели на гранатах [16], (I.Katayama et al., 2000, 2002), биотит-полевошпатовых и плагиоклаз-амфиболовых симплектитов вокруг клинопироксенов и гранатов, замещению граната биотитом, что что служит маркером амфиболитовой фации метаморфизма ( $T 650\text{--}680^\circ\text{C}$ ,  $P < 10$  кбар) [25], (R.Y.Zwang and G.J.Liou, 2001).

Произошедшие во время декомпрессии фазовые переходы в твердом состоянии кристалл-кристалл характеризуются распадом твердого раствора кварца, фенгита и калишпата в клинопироксене [16], образованием пластинок ильменита в оливине и клинопироксene, магнетита в оливине и клиногумите [12, 16], (I.Katayama et al., 2002), ламелей коэсита в титаните и диопside [22], (Y.Ogasawara et al., 2002). Образование кальцита из доломита при распаде твердого раствора и присутствие в матрице

хлорита и актинолита отвечают зеленосланцевой ступени метаморфизма при  $T \sim 420^\circ\text{C}$  и  $P \sim 2\text{--}3$  кбар. [25].

*Алмазодержащие зональные гранаты и цирконы* содержат минеральные включения, захваченные как в прогрессивную, так и регрессивную стадии метаморфизма. В некоторых гранатах по направлению от ядра к оболочке уменьшаются содержания  $\text{MgO}$ ,  $\text{TiO}_2$  и  $\text{Na}_2\text{O}$  и увеличиваются –  $\text{FeO}$ ,  $\text{CaO}$ ,  $\text{MnO}$ . Включения и зональность граната отражают прогрессивные  $P-T$  условия в их центральных частях и регрессивные при образовании келифитовых каемок. Включения в гранатах из алмазодержащих гнейсов с изменчивым парагенезисом главных минералов (гранат±биотит±кварц±плахиоклаз±К-полевой шпат±циозит±хлорит±турмалин±кальцит) и второстепенных (апатит, рутил, циркон) представлены алмазом, графит+хлоритом (или кальцитом), фенгитом, клинопироксеном, калишпатом, биотитом, рутилом, сфером, цирконом. Включения алмаза, доломит±графита, клинопироксена, биотита идентифицированы в гранате из алмазодержащих доломитовых мраморов (доломит+диопсид±гранат+флогопит) (перечень минералов включений в зональных гранатах приведен по направлению от центра к периферии гранатов) [25].

*Циркон* – лучший контейнер минералов сверхвысокого давления, что обусловлено  $P-T$  диапазоном стабильности, механической устойчивостью и нахождением его как

акцессорного минерала в метаморфических породах. Распределение включений в цирконе дает возможность проследить определенную метаморфическую зональность. Наиболее часто в цирконах месторождения наблюдается унаследованное ядро, широкая мантия и наружная оболочка, каждая с отчетливым парагенезисом микроядер. Минералы низкого давления – включения графита, кварца и альбита обычны в унаследованном ядре и тонкой наружной оболочке, в зоне между ядром и оболочкой циркона присутствуют минералы, образующиеся при сверхвысоком давлении: алмаз, коэсит и жадеит [16], (I.Katayama et al., 2000).

*Углерод* представлен микроалмазами (10–60 мкм), графитом (тесно связанный  $sp^3$  гибридизированный углерод (алмаз) с подчиненным количеством  $sp^2$  углерода (графит)), алмаз-лонсдейлит-графитовыми сингегетическими срастаниями (Т.Г.Шумилова и др., 2012) (лонсдейлит диагностируется в большинстве Раман-спектров алмазов месторождения по уширению и сдвигу в сторону меньших волновых чисел полосы  $1332,5 \text{ cm}^{-1}$  и рассматривается как космический импакт-маркер [4]), чаоитом,  $\alpha$ - и  $\beta$ -карбинами и скелетными рентгеноаморфными формами [2, 7], (Т.Г.Шумилова и др., 2012). Состав углеродного вещества сравним с таким presolar наноалмазов хондритов и частиц космичес-

## Признаки прогрессивного, ударно-активированного (UHP) и регрессивного метаморфизма и метасоматоза пород мишиени

кой пыли (IDP) (F.J.M.Rietmeijer, I.D.R.Mackinnon, 1987).

*Графит* содержится в виде единичных кристаллов, зерен в ядрах алмазов (затравки), оболочек вокруг алмазных зерен, сингенетических включений в алмазах, срастаний с алмазом, сульфидами и другими минералами [7], капелек в ядре граната, агрегатов, чешуек в матрице (Y.Hashiguchi et al., 2006), сферул [17], развивается по трещинам и заполняет пустоты в минералах и матрице сильно измененных пород.

*Алмаз* характеризуется многообразием морфологических типов: кубы, комбинированные формы – скелетные, розетковидные, сфероидальные кристаллы, агрегаты идиоморфных кристаллов, редкие октаэдры, двойники [7]. Кристаллы алмаза зональные, ядра и оболочки отличаются по морфологии, изотопному составу углерода и азота (Y.Hashiguchi et al., 2006), концентрации и агрегации азота [21]. Слабая и уширенная Рамановская полоса алмаза  $1332 \text{ cm}^{-1}$  в ядрах и интенсивная, узкая в промежуточной зоне – свидетельство присутствия разных фаз углерода, микропримесей в ядрах алмаза и признак их двухстадийного роста. Дислокации в алмазах имеют тенденцию расходиться лучами от цент-

ральной точки зерна к ограненным наружным частям [15], (S-L.Hwang, 2003), наблюдается их аномальное двупреломление, обусловленное напряжением, несколько различное в ядрах и оболочках алмазов.

Включения микроалмазов в минералы и породы представлены единичными кристаллами, сингенетическими срастаниями со всеми породообразующими минералами, наиболее часто образуются агрегаты алмаз±графит; алмаз+апатит+клинопироксен; алмаз+гидратные фазы – флогопит и фенгит; срастания коэсита с алмазом.

*Изотопный состав углерода алмазов.* Диапазон значений  $\delta^{13}\text{C}$  ( $-8,9\ldots-27\%$ ) [3] алмазов сравним с  $\delta^{13}\text{C}$  ( $-5\ldots-31\%$ ) наноалмазов из примитивных метеоритов [13], (S.S.Russell, 1991). В некоторых микроалмазах наблюдаются зоны, для которых характерны разные значения  $\delta^{13}\text{C}$ : ядра имеют более тяжелые значения  $\delta^{13}\text{C}$ , а оболочки более легкие [22], что указывает на двухстадийность их образования. В доломитовых мраморах значения  $\delta^{13}\text{C}$  алмаза ( $-26,9\ldots-8,3\%$ ) отличаются от  $\delta^{13}\text{C}$  ( $-7\ldots-1\%$ ) кальцита этих пород [3, 15]. Алмазы из гнейсов имеют более легкие значения  $\delta^{13}\text{C}$ , чем таковые из пироксен-карбонатных и гранат-

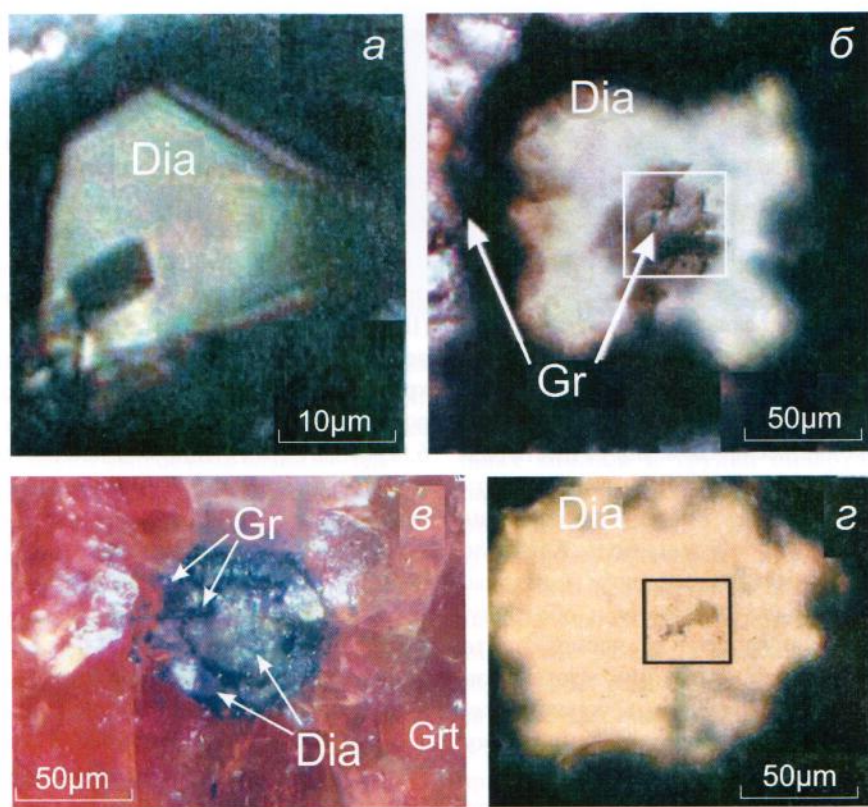


Рис. 2. Морфология и зональность микроалмазов [17]:

а, б – затравки в центре кристаллов ( $sp^3+sp^2$ ) – графит, промежуточные зоны – алмаз с видимыми зонами роста и оболочки – графит; в – сложные условия роста – наружная и внутренняя оболочки графита на и в алмазе; г – нановключения в микроалмазе

пироксеновых пород. Разнообразие модификаций углерода и состава его изотопов позволяет допустить происхождение отдельных групп алмазов из разных (или смешанного) источников углерода в породах [3]. Значения  $\delta^{13}\text{C}$  графита более легкие, чем у алмаза [3], что не подтверждает гипотезу происхождения алмаза из графита для этого месторождения.

**Включения в алмазах.** Протогенетические нановключения углерода в алмазах представлены углеродными фазами ( $sp^3+sp^2$ ), они служат затравками для последующего роста алмазов (рис. 2). Не исключено, что часть углерода образовалась в результате графитизации принесенных кометой алмазов непосредственно при импактном событии. Алмаз осаждался на этих затравках во время изменения условий среды от прогрессивного к регрессивному метаморфизму физму и очень непродолжительное время.

Необычные нановключения, извлеченные из микроалмазов, найденных в гранатах представлены: твердыми фазами  $\text{SiO}_2$  (с рассеянными элементами Al, Fe, Cr, K, S, Ca),  $\text{TiO}_2$  (с рассеянными элементами N, Fe, Cr, Ca, Zn, K, S, P, Pb, Si),  $\text{Cr}_2\text{O}_3$  (с рассеянными элементами Fe, Al, Ti, K, P),  $\text{Fe}_x\text{O}_y$ , (два набора рассеянных элементов (Al, K, Ca) и (Si, Cl, S, Mg)+(Al, Si, P, Ni, Fe), обогащенными Fe-пироксенами, Ca-Ti-цирконами,  $\text{Th}_x\text{O}_y$ ,  $\text{BaSO}_4$ . Определено одно включение, стехиометрически соответствующее ферросилиту с малым количеством энстатитового

компонента  $(\text{Fe}_{1,60}, \text{Mg}_{0,14}, \text{Ca}_{0,09}, \text{Al}_{0,08})_{1,91}(\text{Si}_{1,930}, \text{Al}_{0,07})\cdot2\text{O}_6$  [11]. Нановключения представляют сосуществующие разновидности редких минералов (не являющихся порообразующими за исключением  $\text{SiO}_2$ ) с необычными наборами рассеянных элементов. Даже два нановключения, находящиеся рядом, могут иметь различающиеся наборы рассеянных элементов [11]. Эти данные подтверждают нашу гипотезу образования микроалмазов месторождения Кумды-Коль. Как было показано выше, микроалмазы в основном зональны, они имеют ядро, промежуточную зону и оболочку. Ядра алмазов сформировались в космосе, что подтверждается присутствующими в них экзотическими нановключениями и разнообразным набором рассеянных элементов, то есть они имеют внеземное происхождение, отражая состав вещества кометы.

**Сингенетические нановключения в микроалмазах.** Промежуточная часть алмазов кристаллизовалась из флюида, в них включения представлены жидкими фазами K-C-OH флюида с высоким содержанием K и Ca, растворенными фосфатами, хлоридами, сульфатами (сульфидами) и рассеянными элементами (Si, Fe, Ni, Ti, Cr, Zr, Ba, Mg, Th, Na, Pb, Zn, Nb, Al), а также нанокристаллами карбонатов и силикатов [11,

15] и расплавленного стекла во флюиде [15]. В таких включениях не исключено присутствие азота [21]. Химический состав стекла и жидких включений зависит от состава пород: включения Si-P-K-стекла с высоким содержанием Si и низким K характерны для алмазов из гнейсов, а включения K-Si-флюида с высоким содержанием K и низким Si – для алмазов из доломитовых мраморов [15], (S-L.Hwang et al., 2005). Сложные сингенетические включения в алмазах представлены жидкими и твердыми субмикроскопическими фазами – флюид+наноалмазы+сульфиды Fe, Co, Ni, Zn+ различные порообразующие минералы [15]. Оболочка микроалмазов, как правило, графитизирована в связи с изменением условий кристаллизации, но и внутри алмазов наблюдаются признаки графитизации – взаимные прорастания алмаза и графита, переслаивание этих фаз [7], что указывает на периодические изменения условий кристаллизации.

**Благородные газы в алмазах.** Микроалмазы и метасоматические алмазоносные породы месторождения Кумды-Коль обогащены He, Ne, Ar, Xe [5, 6, 23, 24]. Экстремально высокое содержание  $^3\text{He}$  наблюдается в матрице алмазов и в нановключениях, которые сохра-

### Присутствие минеральных включений высокого и низкого давления в алмазах и минералах вмещающих пород

нили автографы инертных газов, захваченных при образовании алмазов, а также в алмазоносных метасоматитах и минералах из этих метасоматитов [6, 24]. Значение  $^3\text{He}/^4\text{He}$  в алмазах (в %) месторождения варьируют от  $7\cdot10^{-1}$  до  $8\cdot10^{-9}$  [5, 6, 23] и

превышает значения  $^3\text{He}/^4\text{He}$  (частиц космической пыли (IDP)  $>10^{-4}$ ), атмосферы Земли ( $1,4\cdot10^{-6}$ ), солнечного ветра ( $4,3\cdot10^{-4}$ ), базальтов срединного океанического хребта MORB ( $1,1\cdot10^{-5}$ ), базальтов океанических островов OBI ( $0,7\cdot10^{-4}$ ), мантийных магм ( $4\cdot10^{-6}$  и  $>10^{-5}$ ) [5, 6, 8, 14, 23], (M.D.Kurz, W.J.Jenkins, 1981).

Высокие значения  $^3\text{He}/^4\text{He}$  в алмазах получены при освобождении He в относительно низком температурном диапазоне ( $200\text{--}1100^\circ\text{C}$ ) во время отжига в вакууме [5, 23], а не во время сжигания алмаза в контролируемой кислородом атмосфере (A.B.Verchovsky et al., 1993). Количество «избыточного»  $^3\text{He}$  и значения  $^3\text{He}/^4\text{He}$  зависят от размера зерен алмаза в алмазных фракциях: наибольшая часть  $^3\text{He}$  освобождается из самой мелкой фракции ( $<14$  мкм) при низких температурах ( $500\text{--}800^\circ\text{C}$ ) и меньшая – при высоких ( $1500\text{--}1700^\circ\text{C}$ ). Наоборот,  $^4\text{He}$  предпочтительно освобождался, когда алмазы были нагреты до температуры близкой к  $T$  графитизации алмаза ( $\sim 2000^\circ\text{C}$ ) и (или) во время сжигания более крупных ( $>60$  мкм) фракций. Термический отжиг при разных температурах свидетельствует о разном положении атомов этих изотопов в кристаллах алмаза (большинство атомов  $^4\text{He}$  находится в решетке алмазов, а  $^3\text{He}$  – во включениях), что указывает на

разную их природу. Концентрация  $^4\text{He}$  во фракциях разного размера алмазов показывает обратную корреляцию с радиусами зерен и более высокую концентрацию в наружных слоях алмазов, чем в ядрах. Происхождение  $^4\text{He}$  объясняется имплантацией  $\alpha$ -частиц при распаде  $^{238}\text{U}$  [6], (M.D.Kurz, W.J.Jenkins, 1981, A.B.Verchovsky et al., 1993) (породы месторождения отличаются повышенным содержанием U). Возможными причинами высокого содержания  $^3\text{He}$  могли ли быть ядерная реакция или облучение солнечной радиацией [5], что исключено самими авторами, которые объясняют высокое содержание  $^3\text{He}$  в алмазах его концентрацией в не выявленных «загрязнителях». Авторы этой работы считают, что «загрязнителями» являются нановключения в алмазах. Это подтверждается при исследовании гранат-пироксеновых алмазоносных пород Ю.А.Шуколюковым и др. [6]. Наличие избыточного  $^3\text{He}$  – специфическая особенность этих пород, в которых присутствуют несколько минеральных фаз-носителей как  $^3\text{He}$ , так и  $^4\text{He}$ .  $^3\text{He}$  содержится не только в микроалмазах, но и в выделенных из кислотного остатка минеральных фазах – граната, пироксена, акцессорных – рутила, сфена, сульфидов [6]. Один из носителей  $^4\text{He}$  в этих породах – циркон, U-содержащий устойчивый минерал.

Алмазы месторождения характеризуются высоким содержанием водорода, поэтому предшественником He в алмазах мог быть и изотоп водорода – тритий, в результате  $\beta$ -распада которого и в связи изменением состава флюида во времени могла возникнуть зональность изотопного состава гелия в образовавшихся алмазах, подобно изотопной гетерогенности углерода в алмазах месторождения [6]. Но этот вопрос пока слабо изучен.

Содержание инертных газов в микроалмазах месторождения Кумды-Коль сравнимо с содержанием таковых в метеоритных наноалмазах, даже если они включают в себя только ~0,15% тонкозернистого материала «матрицы» примитивных хондритов, экстремально высокое содержание He и Ne в них доминирует над He и Ne из вмещающих их метеоритов, а Ar, Kr и Xe составляют несколько процентов от общего содержания инертных газов [14]. Импортированное вещество ядра кометы – хондрит включало в себя благородные газы He, Ne, Ar, Xe.  $^3\text{He}$  – изначальный компонент Галактики, захваченный веществом кометы в космосе [14], имеет космогенную природу,  $^{40}\text{Ar}$  и  $^{21}\text{Ne}$  присоединились к алмазам во время их образования. Наличие связи между радиогенным  $^4\text{He}$  и Xe спонтанного деления указывает на то, что алмазообразующий флюид содержал продукты распада урана и тория (A.B.Verchovsky et al., 1993).

*Примеси азота, водорода, никеля в алмазах.* На основе

ИКС в алмазах из известково-силикатных пород и гнейсов установлены примеси N, H,  $\text{H}_2\text{O}$ , OH и карбоната, содержание N варьируют в диапазоне 700–2500 ppm. Азот представлен C-центрами (единичный замещающий N, 1b тип алмаза) и A-дефектами (два атома N замещают углерод – агрегированный N, 1aA тип алмаза), то есть алмазы смешанного типа (1b+1aA) с относительно низкой степенью агрегации N. Содержание определяемого ИКС водорода (полоса 3107  $\text{cm}^{-1}$  – CH дефекты) достаточно большое, но в микроалмазах из карбонатсодержащих пород оно меньше, чем в остальных алмазах рудной зоны (Е.С.Ситникова, А.Л.Рагозин, 2007). По данным массспектрометрии для алмазов месторождения характерны высокая концентрация азотных P1-парамагнитных центров (P1-центр аналог C-центра в ИКС), обогащение  $\delta^{15}\text{N}$  (+5,3...+25‰), высокое содержание N до 10 000 ppm. Наиболее вероятное объяснение избыточного N в алмазах – присутствие его в жидких включениях [21].

Спектры фотолюминесценции (ФЛС) (Ar лазер ( $\lambda$  514,5 nm)), полученные в кубоидных алмазах в сечении, близком к грани куба, характеризуются интенсивными полосами 694, 700 и 710 nm в краевых частях

и ядрах кристаллов и приписываются авторами к Ni-N и (или) Ni-N-H дефектам, температурный диапазон существования которых ~1300–2200°C (L.Tretiakova, 2010). Интенсивная доминирующая полоса 637 nm [(NV)<sup>-</sup> центр] в краевых зонах кристаллов и меньшая ее интенсивность в ядрах

является характеристикой облученного и отожженного 1b алмаза (G.Davies, M.F.Hamer, 1976). Слабая полоса 575 nm [(NV)<sup>0</sup> центр], наблюдаемая в краевых зонах алмазов и трудно обнаруживаемая в ядрах, характеризует 1b алмазы с высоким содержанием N. Таким образом, спектры ФЛ подтверждают данные, полученные методами ИКС и ЭПР, и дают информацию о том, что периферийные части кристаллов подверглись большему радиационному облучению. Все перечисленные данные указывают на разные  $P$ - $T$  условия образования разных зон алмазов и, по меньшей мере, на двухстадийный рост алмазов. Высокие содержания N и значения  $\delta^{15}\text{N}$  (+5,3...+25 – хондритовый диапазон), присутствие H- и Ni-содержащих дефектов в алмазах месторождения сравнимы таковыми в газах оболочек комет, алмазов хондритов, presolar алмазных зерен [18, 13], (S.S.Russell et al., 1991).

*Кристаллизация микроалмазов месторождения Кумды-Коль* происходила на затравках, впрыснутых в породы мишени и графитизированных в результате импактного события микро- и наноалмазов из C-H-O-N-содержащего флюид-расплава, также образовавшегося при

Наиболее вероятное описание событий,  
в результате которых  
образовались алмазы месторождения  
Кумды-Коль

импакте. Графитизированные микроалмазы – это застравки будущих алмазов с примесями редких экзотических минералов с разнообразными элементами космического происхождения. В пересыщенный углеродом, водородом, кислородом, азотом флюид-расплав входили примеси тонкодисперсного вещества, образованного при дроблении пород мицелии во время импакта, которое захватывалось растущими алмазами в виде твердых сингенетических включений. При постоянно изменяющихся  $P$ - $T$  условиях (от высоких  $P$ - $T$ , до резко уменьшившегося  $P$  и постепенно уменьшающейся  $T$ ) и, следовательно, многоступенчатом характере кристаллизации рост алмазов проходил по схеме образования CVD (химическое осаждение из паров) алмазов, для которой не требуется сверхвысоких давлений и температур. Зональность большинства кристаллов алмаза и зонально-секториальное строение наиболее крупных индивидов свидетельствуют о резких, многократных, быстро меняющихся  $P$ - $T$  условиях их кристаллизации, приведших к неравномерному захвату примесей и делающих структуру алмаза дефектной. Изменения скорости роста алмазов и кратковременность процесса алмазообразования отразились на их размерах, низкой степени агрегации азота и сохранности алмазов.

Алмаз – полигенный минерал. Он может образовываться при разных давлениях и температурах. Главное найти и понять процесс, заставляющий углерод при различных комбинациях давления и температуры преобразовываться именно в алмаз, а не в какую-либо другую его модификацию. По-видимому, настало время с большой осторожностью относиться к трактовке исключительно мантийного генезиса алмазов, ставящей во главу угла «поле стабильности алмаза», и погружающей алмазы на немыслимо большую глубину в мантию, где они, вероятно, никогда и не были. Кроме «поля стабильности» никаких других условий для возникновения и роста алмазов там нет – ни возможного источника углерода, ни условий для свободного роста, ни механизма доставки к поверхности, ни вероятного источника энергии для реализации этих процессов. Природные процессы не ограничиваются мантией Земли, они гораздо шире и многообразнее. Авторами показан один из вариантов природного процесса, а именно, наклонное столкновение небольшой кометы с Землей, который, по их мнению, и привел к образованию месторождения алмазов Кумды-Коль в Северном Казахстане.

## СПИСОК ЛИТЕРАТУРЫ

1. Вишневский С.А. Метаморфогенные алмазы Кумдыкольского месторождения (Кокчетавский массив, Казахстан): метасоматический генезис с начальным космогенно-импактным вкладом // <http://www.proza.ru/2011/12/28/522>
2. Лаврова Л.Д., Печников В.А., Плещаков А.М. и др. Новый генетический тип алмазных месторождений. – М.: Научный мир, 1999.
3. Печников В.А., Бобров В.А., Подкуйко Ю.А. Изотопный состав алмазов и графитов из метаморфических пород Северного Казахстана // Геохимия. 1993. № 1. С. 150–154.
4. Третьякова Л.И., Люхин А.М. Импактно-космогенно-метасоматическое происхождение микроалмазов месторождения Кумды-Коль, Северный Казахстан // Мат-лы V Всероссийской научно-практической конференции. –Якутск, 2015. С. 513–516.
5. Шуколюков Ю.А., Плещаков А.М., Лаврова Л.Д. Беспрецедентно высокое  $^3\text{He}/^4\text{He}$  отношение в алмазе из метаморфической породы Кокчетавского массива, Казахстан // Петрология. 1993. Т. 1. № 1. С. 110–119.
6. Шуколюков Ю.А., Плещаков А.М., Семенова Л.Ф. и др. Изотопный состав Не в алмазоносных метаморфических породах Северного Казахстана // Геохимия. 1996. № 1. С. 22–35.
7. Шумилова Т.Г. Минералогия самородного углерода. – Екатеринбург: УРО РАН, Коми НЦ, 2003.
8. Anderson D.L. Helium-3 from the Mantle: Primordial Signal or Cosmic Dust? // Science. 1993. Vol. 261. Pp. 170–176.
9. Dai Z.R., Bradley J.P., Joswiak D.J. et al. Possible in situ formation of meteoritic nano-diamonds in the early Solar System // Nature. 2002. Vol. 418. Pp. 157–159.
10. de Niem D. Multiple stages of condensation in impact-produced vapor clouds // In C.Koeberl, K.G.MacLeod Eds. Catastrophic events and mass extinctions: impacts and beyond: Boulder, Colorado // Geol. Soc. America Spec.Paper. 2002. Vol. 356. С. 631–644.
11. Dobrzhinetskaya L.F., Green H.W., Bozhilov K.N. et al. Crystallization environment of Kazakhstan microdiamond: from nanometric inclusions and mineral associations // J. Met. Geol., 2003. Vol. 21. № 5. С. 425–437.
12. Fukasawa K.Y., Ogasawara Y. and Maruyama S. et al. Coesite exsolution, silica-excess titanite and  $\text{K}_2\text{O}-\text{H}_2\text{O}$ -bearing diopside in calcite marble from Kokchetav UHPM terrane // 11 Annual Gold. Conf. 2001.
13. Gilmour I. Geochemistry of Carbon in terrestrial impact process // Geol.Soc. L. SP. 1998. Vol. 14. Pp. 205–216.
14. Huss G.R. Meteoritic nanodiamonds: messengers from the Stars // Elements. 2005. № 1. Pp. 97–100.
15. Hwang S-L., Chu H-T., Yui T-F. et al. Nanometer-size P/K-rich silica glass (former melt) inclusions in microdiamond from the gneisses of Kokchetav and Erzgebirge massifs // EPSL. 2006. Vol. 243. С. 94–106.
16. Katayama I., Maruyama S. Inclusion study in zircon from ultrahigh-pressure metamorphic rocks in the Kokchetav massif: an excellent tracer of metamorphic history // J. Geol. Society. 2009. Vol. 166. Pp. 783–796.
17. Korsakov A.V., Perraki M., Zedgenizov D.A. et al. Diamond-Graphite Relationships in Ultrahigh-pressure Metamorphic Rocks from the Kokchetav Massif, Northern Kazakhstan // J. Petrol. 2010. № 3. Pp. 763–783.
18. Lewis R.S., Anders E., Wright I.P. et al. Isotopically anomalous nitrogen in primitive meteorites // Nature. 1983. Vol. 3051. Pp. 767–771.
19. Lewis R.D., Ming N., Walker J.F. et al. Interstellar diamonds in meteorites.// Nature. 1987. Vol. 326. Pp. 160–162.
20. Melosh H.J. Impact cratering: a geological process. 1989.
21. Nadolinsky V.A., Shatsky V.S., Palyanov Yu. et al. Study of

- local concentration of single substitution nitrogen atoms in micro diamonds from Kokchetav massif // Eur. J. Mineral. 2006. Pp. 739–743.
22. Ogasawara Y. Microdiamonds in UHP Metamorphic Rocks // Element. 2005. Vol. 1. № 2. Pp. 91–96.
  23. Pleshakov A.M., Shukolukov Yu.A. Isotopic variations of Helium in the diamonds of the Kokchetav massif's metamorphic rocks, Kazakhstan // In Noble gas Geoch.&Cosmoch. Tokyo. 1994. Pp. 229–243.
  24. Sumino H., Dobrzhinetskaya L.F., Burgess R. et al. Deep-mantle-derived noble gases in metamorphic diamonds from the Kokchetav massif, Kazakhstan // EPSL. 2011. Vol. 307. Pp. 439–449.
  25. Zhang R.Y., Liou J.G., Ernst W.G. et al. Metamorphic evolution of diamond-bearing and associated rocks from the Kokchetav Massif, Northern Kazakhstan // J. Metam. Geol. 1997. Vol. 15. № 4. Pp. 479–496.
  26. [http://maps.google.ru/9](http://maps.google.ru/)

#### К СВЕДЕНИЮ АВТОРОВ

Плата с авторов за публикацию (в том числе с аспирантов) не взимается. Гонорар не выплачивается. Автор, подписывая статью и направляя ее в редакцию, тем самым предоставляет редакции право на ее опубликование в журнале и размещение в сети «Интернет».

Направление в редакцию работ, опубликованных ранее или намеченных к публикации в других изданиях, не допускается.

*По всем вопросам, связанным со статьями обращаться в редакцию по телефону (495)315-28-47,  
E-mail: ogeo@tsnigri.ru*

Адрес редакции: 117545, г. Москва, Варшавское шоссе, д. 129, корп. 1

Оформить подписку в почтовых отделениях связи на журнал «Отечественная геология» можно по каталогу «Газеты. Журналы» ОАО Агентства «Роспечать» (подписной индекс **70824**)

Периодичность — шесть номеров в год.  
Цена подписки на год 1200 руб.

На электронную версию журнала можно подпписаться  
на сайте Научной Электронной библиотеки elibrary.ru